

起振機による長大土えん堤の振動について

国鉄鉄道技研 生方俊夫

耐震設計のもとにつくられたえん堤の強度の照査または既設えん堤の補強資料を求める目的で起振機によつてえん堤の振動試験を行ふことがある。その際にもしあるえん堤の長さが比較的短ければ、堤体全体を揺り動かすことができるが、長大なえん堤では起振機や駆動設備の制限によつてそれはほとんど不可能に近い。従つて起振機によつて生じた振動は堤体の軸方向に対して前進的な波となつて伝播し、一般には停止した波がおこりがたい。その結果堤体基礎の条件に応じて起振機によつて生じた波はいろいろ波動的な特性をあらわす。

たとえば堤体と基礎地盤の界面より屈折、反射した波と堤体天端を伝播した直接的な波とが干渉をおこし、巨難的に振動振巾が波状に起伏を繰返す現象をおこすこともその一例で、これらの波の可干渉性と堤体および基礎地盤の強度の間にほんの少しがの相関があらわされる。また波の位相伝播速度と堤体の強度との関連性についても深く考へるべきことがあるとおもわれる。

ここでは上述の観察をもとに今後の研究の手がかりとして荒削りではあるがまつとも簡単なモデルを探りあげて若干の理論的な解析を試みた。

運動方程式とその解

図-1に示すように均質な材料でつくられた堤体が充分堅固な岩盤上にあるものとし、その中央天端上に据付けられた起振機によつて x 方向に振動が与えられるものとする。運動方程式は近似的に次式であらわされる。

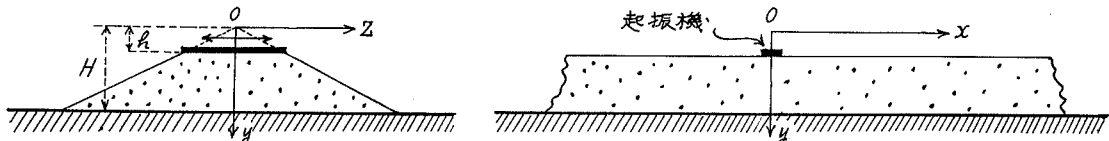


図-1. 起振機による土えん堤の振動

$$\rho \frac{\partial^2 u}{\partial t^2} = G \left(\frac{\partial^2 u}{\partial x^2} + \frac{\partial^2 u}{\partial y^2} + \frac{1}{y} \frac{\partial u}{\partial y} \right) \quad : -\infty < x < \infty, \quad h \leq y \leq H \quad (1)$$

(1)において、 ρ : 材料密度、 G : 剪断剛性率、 u : 堤体の x 方向の変位で x, y, t の函数である。(1)を支配する條件を、

$$y=h: \quad G \frac{\partial u}{\partial y} = -\frac{i e^{i \omega t}}{2 \pi} \iint_{-\infty}^{\infty} f(\gamma) e^{i \frac{\omega}{c} (x-\gamma)} d\gamma d\gamma \quad (2)$$

$$y=H: \quad u=0 \quad (3)$$

とする。(2)における $f(\gamma)$ は複素数で小さい正の虚部を持つとする。また $f(\gamma)$ は x 方向の外力の强度分布をあらわす函数である。いま起振機による外力表現として、 $\lim_{\epsilon \rightarrow 0} \{ E Q / (x^2 + \epsilon^2) \}$ 、强度分布

(Q: 外力の全強度)を考へれば(2),(3)を満足する(1)の積分解として

$$U(x, y, t) = \frac{iQ e^{i\omega t}}{2G} \int_{-\infty}^{\infty} \frac{J_0(\nu H) K_0(\nu y) - J_0(\nu y) K_0(\nu H)}{J_0(\nu H) K_1(\nu H) + J_1(\nu H) K_0(\nu H)} \cdot \frac{e^{i\xi x}}{\nu} d\xi \quad (4)$$

が得られる。ここに J_0, J_1, K_0, K_1 は変形 Bessel 関数で、また $\nu^2 = \xi^2 - (\beta/G) \delta^2$ である。つぎに上式の積分を $\xi \rightarrow \xi = \xi + i\nu t$ なる複素変数に変換し、図-2 の周辺に沿う積分(周辺の位置は特異点と解の存在条件: $\operatorname{Re}\nu = 0$ および $x \geq 0$ では $I_m \xi > 0$, $x \leq 0$ では $I_m \xi < 0$ によってきまる³⁾)として評価すれば。

$$\int_{-\infty}^{\infty} \frac{N(\nu, y)}{\nu M(\nu)} e^{i\xi x} d\xi = \pm 2\pi i \sum_{n=1}^{\infty} \left| \frac{N(\nu, y)}{\nu \frac{\partial}{\partial \xi} M(\nu)} e^{i\xi x} \right|_{\xi = \pm \xi_n}, \quad (x \geq 0, x \leq 0) \quad (5)$$

となる。複符号は正の x には正、負の x には負を採る。また ξ_n は ν を正の実数とするとき: $J_0(\nu H) Y_1(\nu H) - J_1(\nu H) Y_0(\nu H) = 0$ の零点の中、オル番目の零点に対する ν の値で無限数存在する。さ

らに $N(\nu, y) = J_0(\nu H) K_0(\nu y) - J_0(\nu y) K_0(\nu H)$, $M(\nu) = J_0(\nu H) K_1(\nu H) + J_1(\nu H) K_0(\nu H)$ をあらわす。

(5)の右辺を計算すれば所要の解としてつぎを得る。

$$U(x, y, t) = \frac{\pi^2 Q}{2G} \sum_{n=1}^{\infty} \frac{d_n}{\xi_n} J_0(d_n H) Y_1(d_n H) \frac{J_0(d_n H) Y_0(d_n y) - J_0(d_n y) Y_0(d_n H)}{J_0(d_n H) Y_0(d_n H) - J_1(d_n H) Y_1(d_n H)} e^{i(\beta t + \xi_n x)}, \quad (x \geq 0) \quad (6)$$

$$U(x, y, t) = -\frac{\pi^2 Q}{2G} \sum_{n=1}^{\infty} \frac{d_n}{\xi_n} J_0(d_n H) Y_1(d_n H) \frac{J_0(d_n H) Y_0(d_n y) - J_0(d_n y) Y_0(d_n H)}{J_0(d_n H) Y_0(d_n H) - J_1(d_n H) Y_1(d_n H)} e^{i(\beta t - \xi_n x)}, \quad (x \leq 0) \quad (7)$$

(ただし $\xi_n^2 = (\beta/G) \delta^2 - d_n^2$)

解に対する概略的参考

(6) また (7) は $\alpha_1, \alpha_2, \alpha_3, \dots$ に対応して mode が伝播することをあらわす。mode の概略は図-3 の通りである。また各 mode が波となつて伝播する領域の限界を図-4 に示した。図中各破線の位置に対応する mode がもつて擾動となり、それより右側でだけ波動となる。

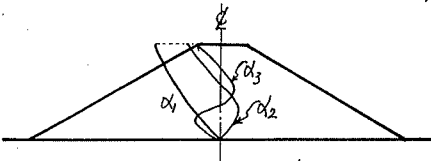


図-3. Normal Mode

(文 前)

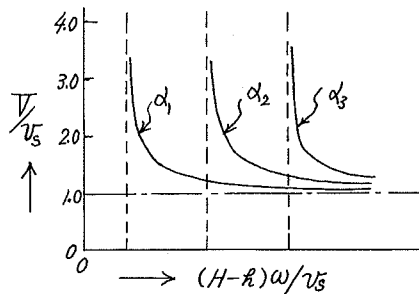


図-4.

V : 起振機によって生じた波の速度
 $v_s = \sqrt{\beta/G}$: 剪断波速度
 ω : 起振機の振動数

- 1). “小本調整池上部堤の振動調査報告” 鉄道技術研究所 依頼試験報告 (7-114) 昭.31.10.
- 2). Keightley, W.O.: “Vibration Tests of Structures.” Earthquake Engineering Research Laboratory, California Institute of Technology, Pasadena, Calif., (July, 1963).
- 3). Lapwood, E.R.: The Disturbance Due to a Line Source in a Semi-infinite Elastic Medium, Phil. Trans. Roy. Soc. (London) A, 241, Vol. 242, pp. 63-100, 1949.